

Supporting Information

Substitution effects of Ru–terpyridyl complexes on photovoltaic and carrier transport properties in dye-sensitized solar cells

Youhei Numata, Ashraful Islam, Keitaro Sodeyama, Zhen-Hua Chen, Yoshitaka Tateyama and Liyuan Han*

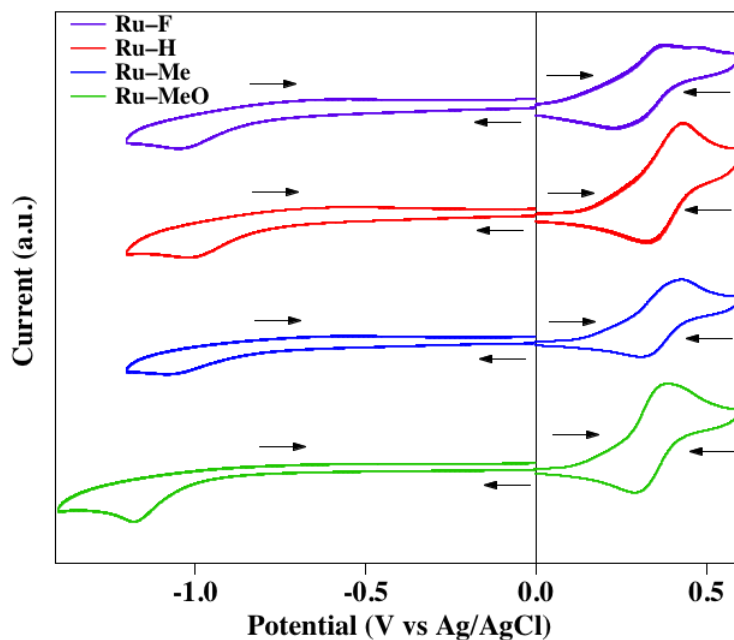


Fig. S1 CV spectra of the four Ru–dctpy dyes in MeCN solutions.

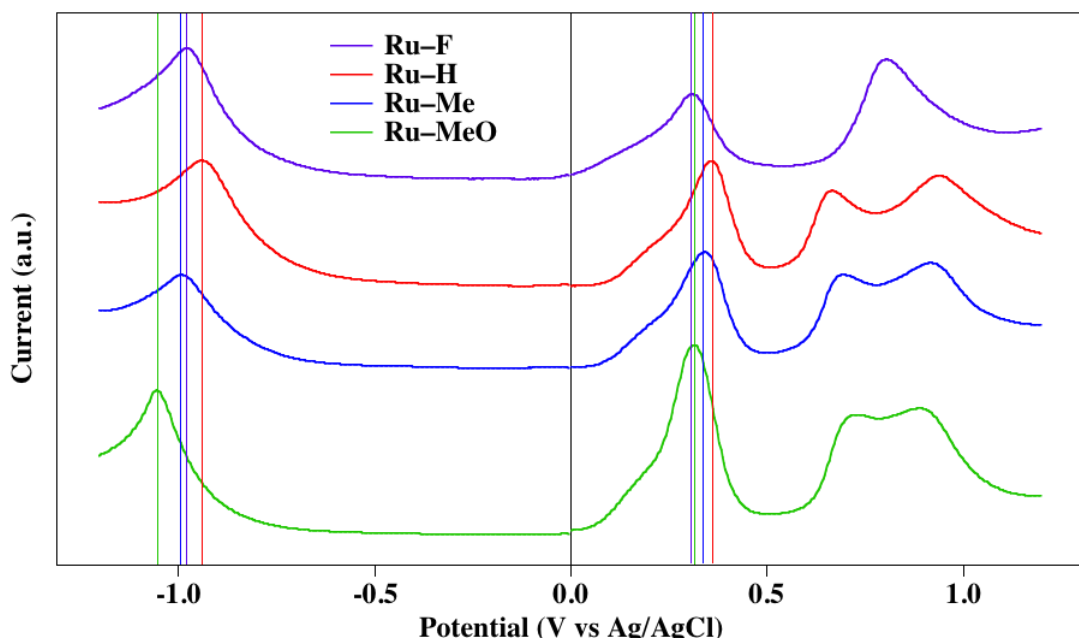


Fig. S2 DPV spectra of the four Ru-dctpy dyes in MeCN solutions.

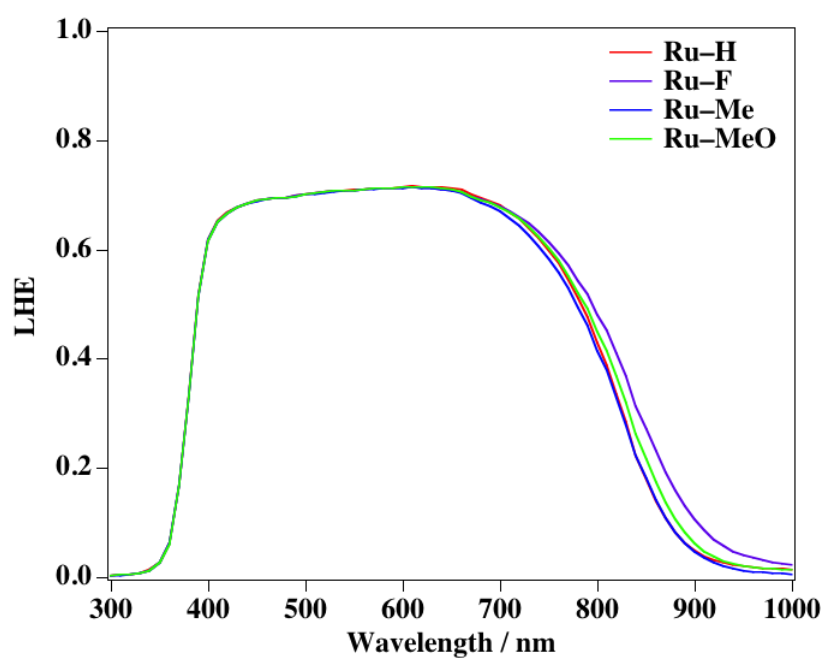


Fig. S3 LHE spectra of the four Ru-dctpy dyes on TiO_2 substrate (26 μm thickness).

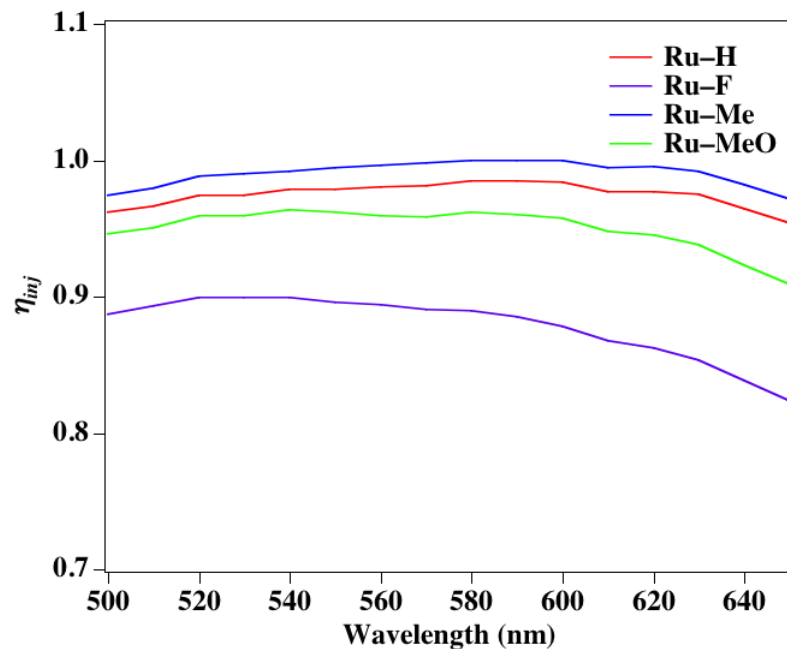


Fig. S4 Electron injection efficiencies (η_{inj}) of Ru-dctpy dyes.

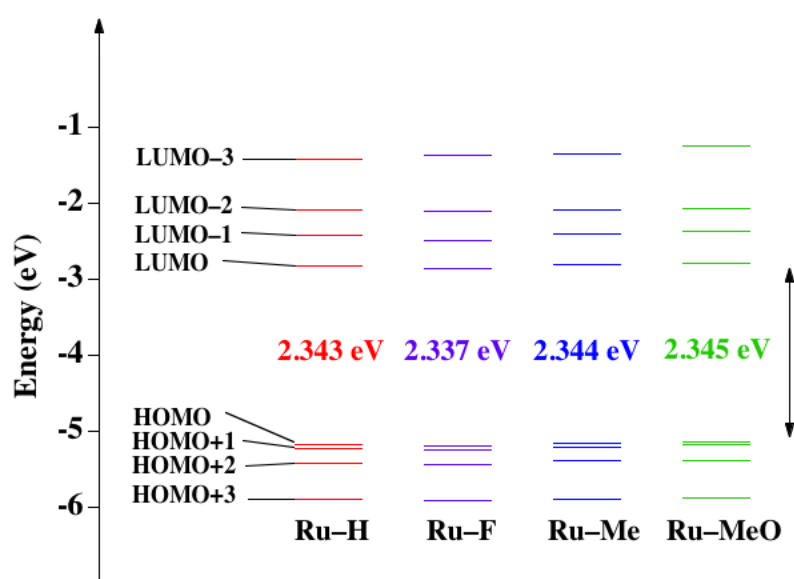


Fig. S5 Calculated frontier MO level diagram of Ru-dctpy dyes.

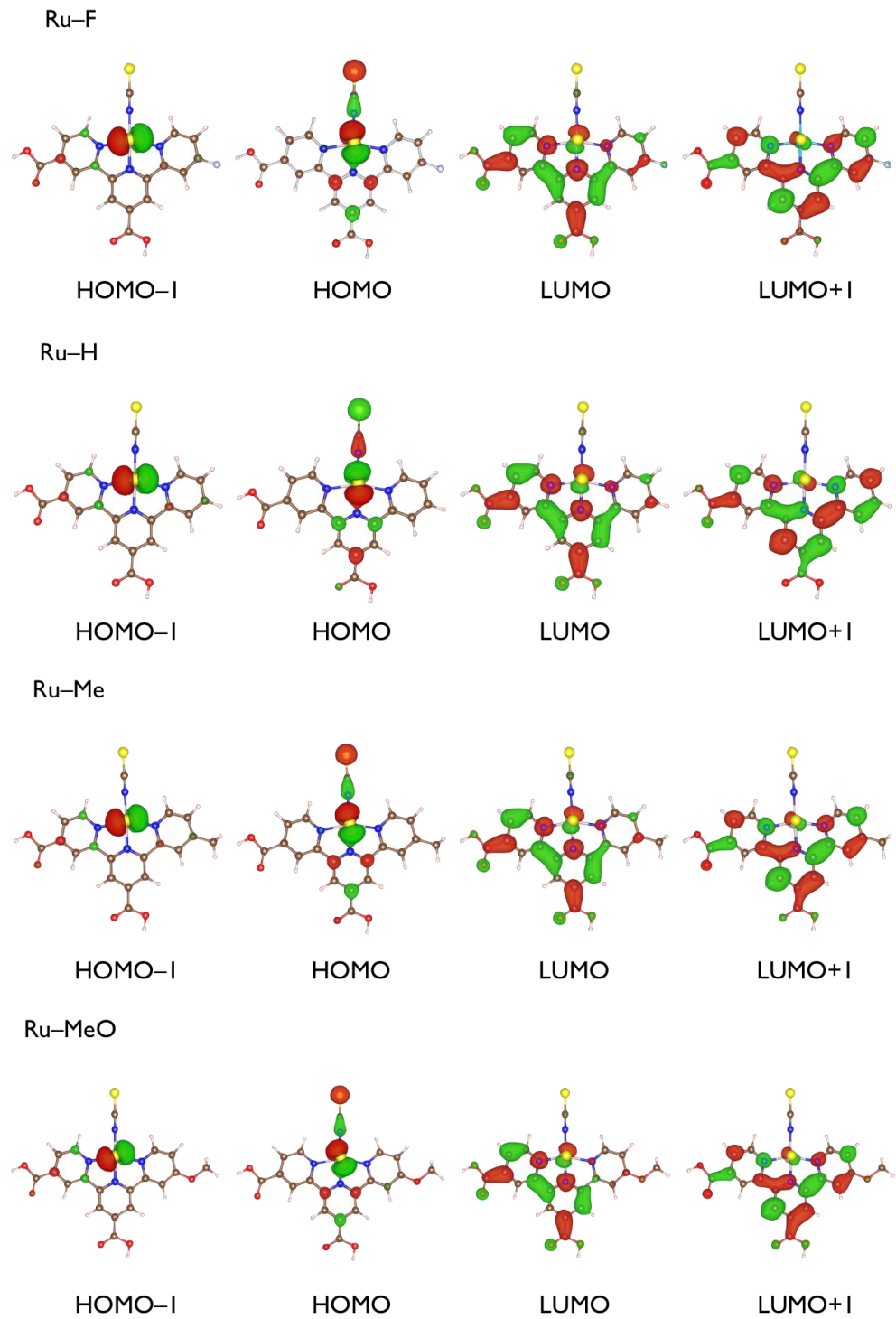


Fig. S6 Calculated HOMOs and LUMOs distributions of Ru–dctpy dyes. Isodensity surface values are 0.3.

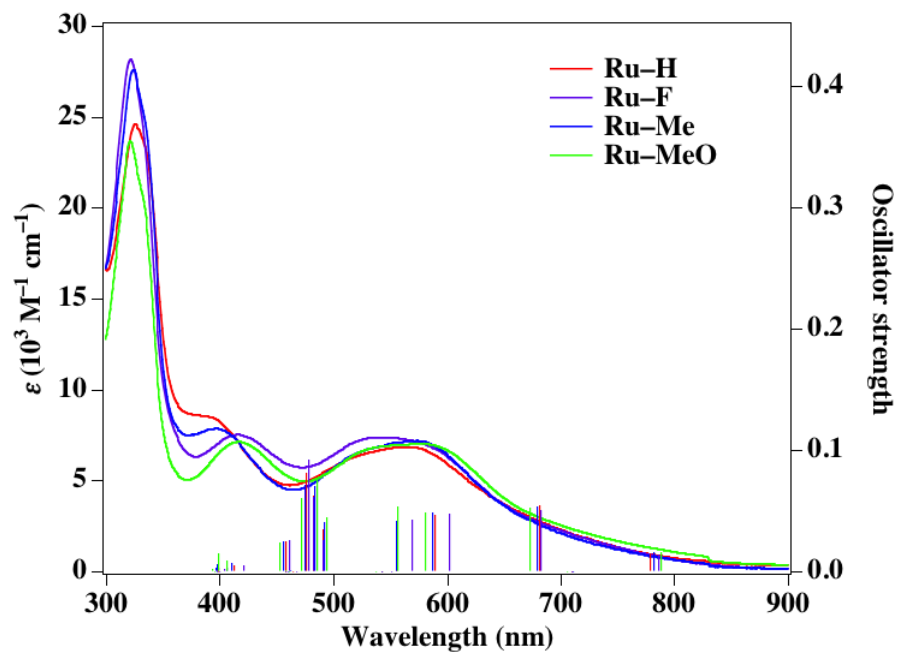


Fig. S7 Experimental UV spectra and calculated oscillator strengths (15 transitions from lower energy) for the Ru-dctpy dyes.

Table S1. Selected results of the TD-DFT excited-state transitions for **Ru-H**.

State	Excitation energy [nm]	f	Main MO transitions with their probabilities	
1	779.12	0.0151	HOMO-1 -> LUMO	(81.8 %)
			HOMO -> LUMO	(14.9 %)
2	681.69	0.0541	HOMO-1 -> LUMO	(11.8 %)
			HOMO-1 -> LUMO+1	(11.5 %)
			HOMO -> LUMO	(72.3 %)
			HOMO -> LUMO+1	(2.3 %)
3	590.29	0.0464	HOMO-1 -> LUMO+1	(18.7 %)
			HOMO -> LUMO+1	(78.2 %)
4	556.29	0.0374	HOMO-1 -> LUMO	(2.3 %)
			HOMO-1 -> LUMO+1	(64.2 %)
			HOMO -> LUMO	(9.2 %)
			HOMO -> LUMO+1	(15.6 %)
			HOMO -> LUMO+2	(5.7 %)
5	491.37	0.035	HOMO-3 -> LUMO	(7.9 %)
			HOMO-1 -> LUMO+2	(5.5 %)
			HOMO -> LUMO+2	(81.3 %)
6	482.61	0.062	HOMO-3 -> LUMO	(13.9 %)
			HOMO-1 -> LUMO+2	(81.0 %)
7	477.13	0.0816	HOMO-3 -> LUMO	(77.2 %)
			HOMO-1 -> LUMO+2	(9.1 %)
			HOMO -> LUMO+2	(9.7 %)
8	458.71	0.0245	HOMO-5 -> LUMO	(96.5 %)
9	395.58	0.0357	HOMO-7 -> LUMO	(20.5 %)
			HOMO -> LUMO+3	(72.4 %)
			HOMO -> LUMO+4	(3.0 %)
10	387.38	0.0171	HOMO-8 -> LUMO	(9.2 %)
			HOMO-7 -> LUMO	(3.1 %)
			HOMO-1 -> LUMO+3	(84.0 %)
11	368.56	0.0126	HOMO-3 -> LUMO+2	(72.0 %)

			HOMO-1 -> LUMO+4	(2.4 %)
			HOMO -> LUMO+4	(22.3 %)
12	336.57	0.0469	HOMO-9 -> LUMO	(11.6 %)
			HOMO-9 -> LUMO+1	(2.4 %)
			HOMO-8 -> LUMO	(8.3 %)
			HOMO-8 -> LUMO+1	(15.3 %)
			HOMO-7 -> LUMO+1	(56.8 %)
13	332.35	0.1507	HOMO-9 -> LUMO	(58.5 %)
			HOMO-8 -> LUMO	(4.3 %)
			HOMO-8 -> LUMO+1	(5.4 %)
			HOMO-7 -> LUMO+1	(11.8 %)
			HOMO-7 -> LUMO+2	(4.4 %)
			HOMO-2 -> LUMO+10	(3.9 %)
			HOMO-2 -> LUMO+12	(2.2 %)
14	328.09	0.0235	HOMO-9 -> LUMO	(4.1 %)
			HOMO-8 -> LUMO+1	(3.6 %)
			HOMO-7 -> LUMO+1	(2.1 %)
			HOMO-6 -> LUMO+10	(7.6 %)
			HOMO-6 -> LUMO+12	(3.9 %)
			HOMO-2 -> LUMO+5	(8.7 %)
			HOMO-2 -> LUMO+6	(10.0 %)
			HOMO-2 -> LUMO+10	(37.4 %)
			HOMO-2 -> LUMO+12	(14.4 %)
15	321.77	0.1418	HOMO-9 -> LUMO	(15.1 %)
			HOMO-8 -> LUMO	(2.5 %)
			HOMO-8 -> LUMO+1	(69.1 %)
			HOMO-7 -> LUMO+1	(2.9 %)
			HOMO-7 -> LUMO+2	(3.2 %)
16	308.31	0.2072	HOMO-9 -> LUMO	(4.7 %)
			HOMO-9 -> LUMO+1	(2.3 %)
			HOMO-8 -> LUMO+2	(2.4 %)
			HOMO-7 -> LUMO+2	(84.6 %)

Table S2. Selected results of the TD-DFT excited-state transitions for **Ru-F**.

State	Excitation energy [nm]	<i>f</i>	Main MO transitions with their probabilities	
1	787.03	0.0142	HOMO-1 -> LUMO	(76.3 %)
			HOMO -> LUMO	(20.4 %)
2	682.96	0.0508	HOMO-1 -> LUMO	(16.0 %)
			HOMO-1 -> LUMO+1	(12.9 %)
			HOMO -> LUMO	(64.9 %)
			HOMO -> LUMO+1	(4.0 %)
3	602.53	0.0471	HOMO-1 -> LUMO+1	(20.8 %)
			HOMO -> LUMO+1	(76.6 %)
4	569.76	0.0428	HOMO-1 -> LUMO	(3.7 %)
			HOMO-1 -> LUMO+1	(62.0 %)
			HOMO -> LUMO	(10.9 %)
			HOMO -> LUMO+1	(16.3 %)
			HOMO -> LUMO+2	(4.6 %)
5	491.76	0.026	HOMO-3 -> LUMO	(12.7 %)
			HOMO-1 -> LUMO+2	(5.8 %)
			HOMO -> LUMO+2	(77.5 %)
6	483.37	0.0616	HOMO-3 -> LUMO	(25.9 %)
			HOMO-1 -> LUMO+2	(71.2 %)
7	479.00	0.0922	HOMO-3 -> LUMO	(60.4 %)
			HOMO-1 -> LUMO+2	(19.0 %)
			HOMO -> LUMO+2	(15.5 %)
8	461.66	0.0262	HOMO-5 -> LUMO	(97.8 %)
9	389.18	0.0209	HOMO -> LUMO+3	(60.8 %)
			HOMO -> LUMO+4	(33.7 %)
10	381.95	0.0212	HOMO-8 -> LUMO	(14.1 %)
			HOMO-1 -> LUMO+3	(62.0 %)
			HOMO-1 -> LUMO+4	(9.3 %)
			HOMO -> LUMO+4	(10.4 %)
11	339.83	0.0596	HOMO-8 -> LUMO	(18.4 %)

			HOMO-8 -> LUMO+1	(13.6 %)
			HOMO-7 -> LUMO+1	(56.2 %)
12	332.26	0.0508	HOMO-9 -> LUMO	(35.5 %)
			HOMO-8 -> LUMO	(4.0 %)
			HOMO-8 -> LUMO+1	(39.2 %)
			HOMO-7 -> LUMO+1	(4.4 %)
			HOMO-7 -> LUMO+2	(2.0 %)
			HOMO-2 -> LUMO+10	(4.2 %)
13	322.20	0.2337	HOMO-9 -> LUMO	(49.7 %)
			HOMO-8 -> LUMO+1	(31.7 %)
			HOMO-7 -> LUMO+2	(7.8 %)
14	308.11	0.2324	HOMO-9 -> LUMO	(7.3 %)
			HOMO-9 -> LUMO+1	(2.1 %)
			HOMO-8 -> LUMO+2	(3.0 %)
			HOMO-7 -> LUMO+2	(82.0 %)

Table S3. Selected results of the TD-DFT excited-state transitions for **Ru-Me**.

State	Excitation energy [nm]	<i>f</i>	Main MO transitions with their probabilities	
1	782.78	0.0162	HOMO-1 -> LUMO	(73.6 %)
			HOMO -> LUMO	(23.2 %)
2	679.61	0.0534	HOMO-1 -> LUMO	(18.7 %)
			HOMO-1 -> LUMO+1	(10.9 %)
			HOMO -> LUMO	(64.5 %)
			HOMO -> LUMO+1	(3.9 %)
3	587.62	0.049	HOMO-1 -> LUMO+1	(28.5 %)
			HOMO -> LUMO+1	(68.4 %)
4	555.58	0.0412	HOMO-1 -> LUMO	(3.4 %)
			HOMO-1 -> LUMO+1	(54.9 %)
			HOMO -> LUMO	(8.7 %)
			HOMO -> LUMO+1	(23.2 %)
			HOMO -> LUMO+2	(7.0 %)
5	492.45	0.0407	HOMO-3 -> LUMO	(5.2 %)
			HOMO-1 -> LUMO+2	(8.4 %)
			HOMO -> LUMO+2	(80.4 %)
6	484.19	0.0705	HOMO-3 -> LUMO	(5.0 %)
			HOMO-1 -> LUMO+2	(85.1 %)
			HOMO -> LUMO+2	(4.4 %)
7	475.41	0.0717	HOMO-3 -> LUMO	(88.9 %)
			HOMO-1 -> LUMO+2	(2.1 %)
			HOMO -> LUMO+2	(6.1 %)
8	456.44	0.0245	HOMO-5 -> LUMO	(97.7 %)
9	386.14	0.039	HOMO -> LUMO+3	(92.7 %)
			HOMO -> LUMO+4	(2.7 %)
10	381.44	0.0148	HOMO-8 -> LUMO	(8.7 %)
			HOMO-1 -> LUMO+3	(87.6 %)
11	337.02	0.0529	HOMO-9 -> LUMO	(10.9 %)

			HOMO-9 -> LUMO+1	(2.5 %)
			HOMO-8 -> LUMO	(9.6 %)
			HOMO-8 -> LUMO+1	(12.9 %)
			HOMO-7 -> LUMO+1	(57.1 %)
12	332.57	0.1636	HOMO-9 -> LUMO	(61.9 %)
			HOMO-8 -> LUMO	(4.0 %)
			HOMO-8 -> LUMO+1	(3.6 %)
			HOMO-7 -> LUMO+1	(9.2 %)
			HOMO-7 -> LUMO+2	(4.9 %)
			HOMO-2 -> LUMO+10	(4.5 %)
			HOMO-2 -> LUMO+12	(2.6 %)
13	328.45	0.0331	HOMO-9 -> LUMO	(5.7 %)
			HOMO-8 -> LUMO+1	(2.3 %)
			HOMO-7 -> LUMO+1	(2.2 %)
			HOMO-6 -> LUMO+10	(7.6 %)
			HOMO-6 -> LUMO+12	(3.8 %)
			HOMO-2 -> LUMO+5	(7.6 %)
			HOMO-2 -> LUMO+6	(9.8 %)
			HOMO-2 -> LUMO+10	(38.6 %)
			HOMO-2 -> LUMO+12	(14.5 %)
14	320.95	0.1286	HOMO-9 -> LUMO	(10.1 %)
			HOMO-8 -> LUMO	(2.9 %)
			HOMO-8 -> LUMO+1	(74.2 %)
			HOMO-7 -> LUMO+1	(2.6 %)
			HOMO-7 -> LUMO+2	(2.8 %)
15	309.8	0.2138	HOMO-9 -> LUMO	(5.0 %)
			HOMO-9 -> LUMO+1	(2.2 %)
			HOMO-8 -> LUMO+1	(2.1 %)
			HOMO-7 -> LUMO+2	(84.5 %)

Table S4. Selected results of the TD-DFT excited-state transitions for **Ru-MeO**.

State	Excitation energy [nm]	f	Main MO transitions with their probabilities
1	788.97	0.0161	HOMO-1 -> LUMO (45.2 %)
			HOMO -> LUMO (52.0 %)
2	673.38	0.0527	HOMO-1 -> LUMO (42.2 %)
			HOMO-1 -> LUMO+1 (6.5 %)
			HOMO -> LUMO (39.1 %)
			HOMO -> LUMO+1 (10.0 %)
3	581.27	0.0481	HOMO-1 -> LUMO+1 (63.5 %)
			HOMO -> LUMO+1 (33.5 %)
4	557.36	0.0534	HOMO-1 -> LUMO (7.5 %)
			HOMO-1 -> LUMO+1 (25.6 %)
			HOMO -> LUMO (5.8 %)
			HOMO -> LUMO+1 (50.3 %)
			HOMO -> LUMO+2 (8.9 %)
5	494.96	0.045	HOMO-3 -> LUMO (3.1 %)
			HOMO-1 -> LUMO+2 (11.6 %)
			HOMO -> LUMO+1 (3.6 %)
			HOMO -> LUMO+2 (77.7 %)
6	486.21	0.0755	HOMO-1 -> LUMO+2 (84.5 %)
			HOMO -> LUMO+2 (8.5 %)
7	472.23	0.0606	HOMO-3 -> LUMO (94.8 %)
			HOMO -> LUMO+2 (2.9 %)
8	453.23	0.0237	HOMO-5 -> LUMO (96.9 %)
			HOMO-4 -> LUMO (2.8 %)
9	399.69	0.0149	HOMO-6 -> LUMO (94.2 %)
10	375.93	0.0101	HOMO-1 -> LUMO+3 (9.1 %)
			HOMO -> LUMO+3 (86.6 %)
11	372.75	0.0111	HOMO-8 -> LUMO (8.1 %)
			HOMO-3 -> LUMO+2 (3.4 %)
			HOMO-1 -> LUMO+3 (80.0 %)

			HOMO	-> LUMO+3	(5.6 %)
12	367.88	0.0103	HOMO-3 -> LUMO+2	(93.0 %)	
			HOMO-1 -> LUMO+3	(2.7 %)	
			HOMO -> LUMO+3	(2.7 %)	
13	366.18	0.0221	HOMO-8 -> LUMO	(6.5 %)	
			HOMO-1 -> LUMO+3	(2.3 %)	
			HOMO -> LUMO+4	(86.2 %)	
14	351.56	0.0119	HOMO-8 -> LUMO	(30.5 %)	
			HOMO-6 -> LUMO+1	(32.2 %)	
			HOMO-1 -> LUMO+4	(23.1 %)	
			HOMO -> LUMO+4	(8.5 %)	
15	339.18	0.0562	HOMO-8 -> LUMO	(19.2 %)	
			HOMO-8 -> LUMO+1	(8.3 %)	
			HOMO-6 -> LUMO+1	(56.7 %)	
			HOMO-6 -> LUMO+2	(2.1 %)	
			HOMO-1 -> LUMO+4	(5.1 %)	
16	332.03	0.1164	HOMO-9 -> LUMO	(59.0 %)	
			HOMO-8 -> LUMO+1	(6.0 %)	
			HOMO-7 -> LUMO+10	(2.1 %)	
			HOMO-6 -> LUMO+2	(4.7 %)	
			HOMO-2 -> LUMO+6	(2.5 %)	
			HOMO-2 -> LUMO+10	(11.1 %)	
			HOMO-2 -> LUMO+12	(5.0 %)	
17	328.49	0.0584	HOMO-9 -> LUMO	(15.7 %)	
			HOMO-8 -> LUMO+1	(4.8 %)	
			HOMO-7 -> LUMO+10	(6.4 %)	
			HOMO-7 -> LUMO+12	(3.1 %)	
			HOMO-6 -> LUMO+2	(3.2 %)	
			HOMO-2 -> LUMO+5	(6.2 %)	
			HOMO-2 -> LUMO+6	(7.6 %)	
			HOMO-2 -> LUMO+10	(33.2 %)	
			HOMO-2 -> LUMO+12	(12.0 %)	

18	318.76	0.1189	HOMO-9 -> LUMO	(8.4 %)
			HOMO-8 -> LUMO	(3.3 %)
			HOMO-8 -> LUMO+1	(73.0 %)
			HOMO-6 -> LUMO+1	(2.1 %)
			HOMO-6 -> LUMO+2	(5.4 %)
			HOMO-1 -> LUMO+4	(2.7 %)
19	312.02	0.2547	HOMO-9 -> LUMO	(9.0 %)
			HOMO-8 -> LUMO+1	(3.4 %)
			HOMO-6 -> LUMO+2	(80.2 %)